

## Teorija signala

Prof. dr. sc. Damir Seršić  
<http://ts.zesoi.fer.hr>

## Oktavna DWT kao slog filtara

- Rekurzivna realizacija

2

## Wavelet stablo, analiza

- Rekurzivno izračunavanje koeficijenata DWT wavelet filtarskim stablom.
- Razlaganje se ponavlja u niskopropusnoj grani.

3

## Wavelet stablo, rekonstrukcija

- Rekurzivna rekonstrukcija signala wavelet filtarskim stablom.
- Ako je svaki filtarski slog s PR, jasno je i da je cijeli sustav s potpunom rekonstrukcijom.

4

## Funkcije razlaganja

- Pitanje je koje su funkcije razlaganja u wavelet filtarskom stablu i koja je veza s DWT transformacijom?
- U stablu se javlja kaskada decimatora i filtara.
- Zamjena redosljeda rezultira sljedećim relacijama (*eng. Noble Identities*):

$$\begin{aligned} X(z) \downarrow 2 \rightarrow H(z) \rightarrow Y(z) &\equiv X(z) \rightarrow H(z^2) \rightarrow Y(z) \\ X(z) \rightarrow H(z) \rightarrow Y(z) &\equiv X(z) \rightarrow H(z^2) \rightarrow Y(z) \downarrow 2 \end{aligned}$$

5

## Wavelet stablo, analiza

- U N-toj razini imamo sljedeće kaskade filtara:

$$H_0^{(N)}(z) = \prod_{i=0}^{N-1} H_0(z^{2^i}) \quad H_1^{(N)}(z) = H_1(z^{2^{N-1}}) \prod_{i=0}^{N-2} H_0(z^{2^i})$$

6

### Wavelet stablo, analiza

$$H_1^{(N)}(z) = H_1(z^{2^{N-1}}) \prod_{i=0}^{N-2} H_0(z^{2^i}) \quad H_0^{(N)}(z) = \prod_{i=0}^{N-1} H_0(z^{2^i})$$

- Filtri  $H_1^{(M)}$  određuju funkcije razlaganja u različitim razinama wavelet stabla ("wavelet funkcije").
- Filtri  $H_0^{(M)}$  određuju njima komplementarne funkcije razlaganja ("funkcije skale").
- Pogledat ćemo primjer.

7

### Analizirajući filtri db2 u četiri razine razlaganja

- U višim razinama razlaganja impulsni odziv filtera zadržava "isti oblik", ali ima približno dvostruko trajanje.

8

### Wavelet funkcija i funkcija skale

- Definiramo kontinuirane funkcije, koje su po odsječcima jednake impulsnim odzivima filtera.

$$\varphi_N(t) = 2^{N/2} h_{0N}[n], \quad \frac{n}{2^N} \leq t < \frac{n+1}{2^N}$$

$$\psi_N(t) = 2^{N/2} h_{1N}[n], \quad \frac{n}{2^N} \leq t < \frac{n+1}{2^N}$$

- Ovako definirane kontinuirane funkcije su normirane po vremenu i energiji.

9

### db2: konvergencija analizirajuće funkcije skale i wavelet funkcije

10

### db2: konvergencija rekonstrukcijskih funkcija

11

### Wavelet funkcija i funkcija skale za db2

- Pridružene kontinuirane funkcije konstantne po odsječcima konvergiraju ako broj razina razlaganja  $M$  teži u beskonačno.
- U našem primjeru rezultirajuće funkcije su zadovoljavajuće glatke (regularne).
- Uvjet realizacije DWT diskretnih signala filteraskim slogom: **konvergencija** i **regularnost** pridruženih wavelet funkcija i funkcija skale kada broj razina razlaganja teži u beskonačnost.

12

### Nužni i dovoljni uvjeti

- Pokazuje se da je za konvergenciju nužna nultočka niskopropusnog filtra  $H_0(z)$  na  $z=-1$ , te vrijednost  $\sqrt{2}$  na  $z=1$ :
 
$$H_0(z)|_{z=-1} = 0, \quad H_0(z)|_{z=1} = \sqrt{2};$$
- Dovoljan uvjet (Mallat 89) je da NP filter nema nultočaka na jediničnoj kružnici u rasponu od  $-\pi/2$  do  $\pi/2$ .

13

- Kod ortogonalnih slogova rekonstrukcijske funkcije su zrcalno preokrenute analizirajuće.
- Kod biortogonalnih slogova rekonstrukcijske funkcije redovito su sasvim različite od analizirajućih.
- Za brojne primjene (kompresija, potiskivanje šuma, ...) važnija nam je regularnost rekonstrukcijskih funkcija.

14

### bior2.2: konvergencija analizirajuće funkcije skale i wavelet funkcije

15

### bior2.2: konvergencija rekonstrukcijskih funkcija

16

### Analizirajuća strana: filtarski koeficijenti i funkcije

- Neka funkcija skale i wavelet funkcija konvergiraju:
 
$$\varphi(t) = \lim_{N \rightarrow \infty} \varphi_N(t), \quad \psi(t) = \lim_{N \rightarrow \infty} \psi_N(t).$$
- Vrijede sljedeće veze s filtarskim koeficijentima:
 
$$\varphi(t) = \sqrt{2} \sum_{k=0}^{N_0} h_0[k] \varphi(2t-k) \quad \psi(t) = \sqrt{2} \sum_{k=0}^{N_1} h_1[k] \varphi(2t-k)$$
- Provjerit ćemo na primjeru.

17

### Analizirajuća strana: filtarski koeficijenti i funkcije

$$\varphi(t) = \sqrt{2} \sum_{k=0}^{N_0} h_0[k] \varphi(2t-k) \quad \psi(t) = \sqrt{2} \sum_{k=0}^{N_1} h_1[k] \varphi(2t-k)$$

- Primjer (Haarov wavelet):
 
$$\varphi(t) = \begin{cases} 1 & 0 \leq t < 1/2 \\ -1 & 1/2 \leq t \leq 1 \\ 0 & \text{drugdje} \end{cases}$$

$$\psi(t) = \begin{cases} 1 & 0 \leq t < 1/2 \\ -1 & 1/2 \leq t \leq 1 \\ 0 & \text{drugdje} \end{cases} \quad h_1 = \{1, -1\} / \sqrt{2}$$

$$\psi(t) = \varphi(2t) - \varphi(2t-1)$$
- $$\varphi(t) = \begin{cases} 1 & 0 \leq t \leq 1 \\ 0 & \text{drugdje} \end{cases}$$

$$h_0 = \{1, 1\} / \sqrt{2}$$

$$\varphi(t) = \varphi(2t) + \varphi(2t-1)$$

18

## Brza oktavna DWT

$$\psi_{m,k}(t) = \frac{1}{\sqrt{2^k}} \psi\left(\frac{t}{2^k} - m\right), \quad X[m,k] = \int_{-\infty}^{+\infty} x(t) \psi_{m,k}(t) dt$$

- Neka je  $\Psi(t)$  wavelet funkcija (limes  $\Psi_N(t)$ ), te neka je  $\varphi(t)$  pripadna funkcija skale.
- Krenemo računanje na primjer od razine  $k=0$ :

$$A[m,0] = \int_{-\infty}^{+\infty} x(t) \varphi(t - m) dt$$

- $A[m,k]$  zovemo aproksimacijskim koeficijentima.

19

## Brza oktavna DWT

- Kako je  $\psi(t) = \sqrt{2} \sum_{k=0}^{N_1} h_1[k] \varphi(2t - k)$  slijedi:

$$\psi\left(\frac{t}{2} - m\right) = \sqrt{2} \sum_{k=0}^{N_1} h_1[k] \varphi(t - k - 2m)$$

$$X[m,1] = \int_{-\infty}^{+\infty} x(t) \sum_{k=0}^{N_1} h_1[k] \varphi(t - k - 2m) dt$$

$$X[m,1] = \sum_{k=0}^{N_1} h_1[k] A[2m - k, 0]$$

- Ovo odgovara filtriranju koeficijenata  $A[m, 0]$  filtrom  $h_1$ , te decimaciji s faktorom 2.

20

## Brza oktavna DWT

- Iz  $\varphi(t) = \sqrt{2} \sum_{k=0}^{N_0} h_0[k] \varphi(2t - k)$  slijedi:

$$A[m,1] = \sum_{k=0}^{N_0} h_0[k] A[2m - k, 0]$$

- To je filtriranje s  $h_0$  i decimacija s faktorom 2.
- Konačno, imamo postupak za brzu DWT:

- 1.) integriranjem signala pomnoženog s pomaknutim funkcijama izračunavamo aproksimacijske koeficijente  $A[m, k_0]$ .
- 2.) Za dobivanje  $X[m, k]$  za  $k > k_0$  aproksimacijske koeficijente propustimo kroz wavelet filterski slog!

21

## Zaključci

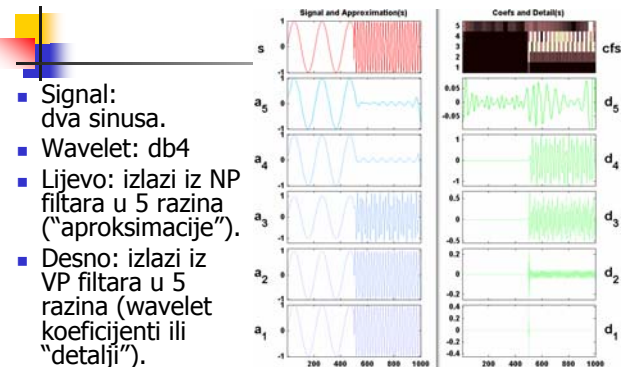
- Wavelet filterski slog možemo koristiti za brzo računanje DWT.
- S druge strane, postupak dizajna filterskog sloga možemo promatrati kao metodu projektiranja ortogonalnih ili biortogonalnih waveleta konačnog trajanja.

22

## Analiza signala DWT slogom

- Napraviti ćemo analizu više signala različitim DWT slogovima.
- Prvi primjer: signal je složen od dva sinusa različite frekvencije.
- Analiza:
  - ortogonalnim wavelet filterskim slogom db4.
  - ortogonalnim wavelet filterskim slogom sym4.
  - Haarovim wavelet filterskim slogom.

23



- Signal: dva sinusa.
- Wavelet: db4
- Lijevo: izlazi iz NP filtera u 5 razina ("aproksimacije").
- Desno: izlazi iz VP filtera u 5 razina (wavelet koeficijenti ili "detalji").

24

- Signal: dva sinusa.
- Wavelet: sym4
- Ortogonalno razlaganje uz najmanje nesimetrične funkcije daje nešto bolji opis.

25

- Signal: dva sinusa.
- Wavelet: Haar.
- Razlaganje sinusnog signala u wavelete konstantne po odsječcima ne daje dobar opis.

26

### Analiza polinoma DWT slogom

- Drugi primjer: signal je složen od dva polinoma (ovdje pravca različitih nagiba).
- Analiza:
  - biortogonalnim wavelet filtarskim slogom bior2.2
  - Zapis  $\text{bior}m.n$  znači  $m$  nultočaka rekonstrukcijskog filtra  $F_0$  i  $n$  nultočaka analizirajućeg filtra  $H_0$  na frekvenciji  $\omega = \pi$ .

27

- Signal: dva pravca.
- Wavelet: bior2.2
- Wavelet s  $m=2$  poništava polinome drugog reda.
- Rezultat: pravci u  $a_5$ , diskontinuitet u wavelet koeficijente  $d_1-d_5$ .

28

### Nultočke, nul-momenti i poništavanje polinoma

- Krenimo od biortogonalnog filtarskog sloga i promatramo rekonstrukcijski NP filter  $F_0$ .
- Neka  $F_0$  ima  $m$  nultočaka na Nyquistovoj frekvenciji  $\omega = \pi$ .
- Onda vrijedi:
 
$$\sum_{n=0}^m (-1)^n n^j f_0[n] = 0 \quad \text{za } j = 0, 1, \dots, m$$

29

### Nultočke, nul-momenti i poništavanje polinoma

- $m$  nultočaka od  $F_0$  na  $\omega = \pi$  znači:
 
$$F_0(\omega)_{\omega=\pi} = F_0'(\omega)_{\omega=\pi} = \dots = F_0^{(m-1)}(\omega)_{\omega=\pi} = 0.$$
- Napišemo izraze za spektar i njegove derivacije na  $\omega = \pi$ :
 
$$F_0(\omega)_{\omega=\pi} = \sum f_0[n] e^{-jn} = \sum f_0[n] (-1)^n,$$

$$F_0'(\omega)_{\omega=\pi} = \sum f_0[n] (-jn) e^{-jn} = \sum f_0[n] (-jn) (-1)^n,$$
 ...
 

Izjednačavanje svih izraza s nulom daje rezultat s prethodnog slajda.

30

## Nultočke, nul-momenti i poništavanje polinoma

- Filter  $F_0$  određuje analizirajući VP filter  $H_1$ :

$$h_1[n] = (-1)^n \cdot f_0[n]$$

- pa imamo:

$$\sum_{n=0}^m n^j h_1[n] = 0 \quad \text{za } j = 0, 1, \dots, m$$

- Analizirajuća wavelet funkcija  $\psi(t)$  nastaje kaskadnim algoritmom iz  $h_1$ , stoga se može pokazati:

$$\int t^j \psi(t) dt = 0 \quad \text{za } j = 0, 1, \dots, m$$

31

## Nultočke, nul-momenti i poništavanje polinoma

- Wavelet funkcija  $\psi(t)$  ima  $m$  nul-momenata (*eng. vanishing moments*).
- Ako je analizirani signal polinom  $m$ -tog reda, wavelet koeficijenti će redom biti jednaki nuli.
- Takvo wavelet razlaganje **poništava** (*eng. annihilates*) **polinome**: informacija se prenosi isključivo u aproksimacijskim koeficijentima.
- Kako se svaka glatka funkcija može predstaviti polinomom u nekoj okolini, ovo je izuzetno važno svojstvo za koncentriranje informacije.

32

## Nultočke, nul-momenti i poništavanje polinoma

- Zaključak:  
Wavelet razlaganje je dobro za opis signala sastavljenih od odsječaka glatkih funkcija.
- Takvi su mnogi realni signali i slike!

33

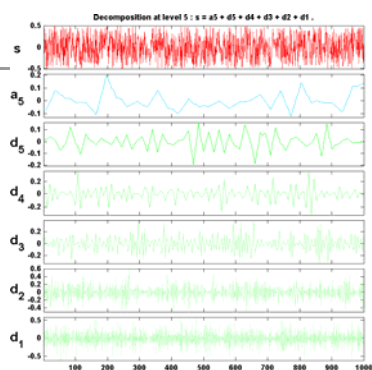
## Analiza šuma DWT slogom

- Treći primjer: signal je bijeli šum.
- Analiza:
  - ortogonalnim wavelet filtarskim slogom.

34



- Signal: bijeli šum.
- Wavelet: db3
- Šum se distribuira po wavelet koeficijentima u svim razinama razlaganja.



35

## Potiskivanje šuma

- Četvrti primjer: signal je sastavljen od odsječaka polinoma s pribrojenim bijelim šumom.
- Analiza:
  - wavelet filtarskim slogom bez decimacije.

36

## Potiskivanje šuma

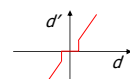
- Korisni signal sastavljen od odsječaka polinoma ili glatkih funkcija će se preslikati u mali broj wavelet i aproksimacijskih koeficijenata velike vrijednosti.
- Bijeli šum će se distribuirati po svim wavelet koeficijentima.

37

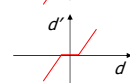
## Potiskivanje šuma

- Ideja (dvije varijante):
  - Odbaciti wavelet koeficijente ispod nekog praga (*eng. hard thresholding*)
  - Odbaciti wavelet koeficijente ispod praga a ostale umanjiti za iznos praga (*eng. soft thresholding*).

$$d'[n] = \begin{cases} d[n] & |d[n]| > \varepsilon, \\ 0 & |d[n]| \leq \varepsilon. \end{cases}$$



$$d'[n] = \begin{cases} \text{sgn}(d[n])(|d[n]| - \varepsilon) & |d[n]| > \varepsilon, \\ 0 & |d[n]| \leq \varepsilon. \end{cases}$$

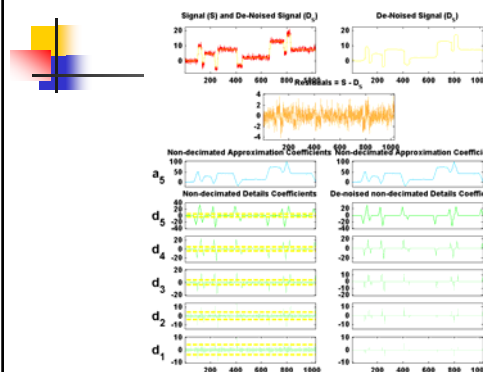


38

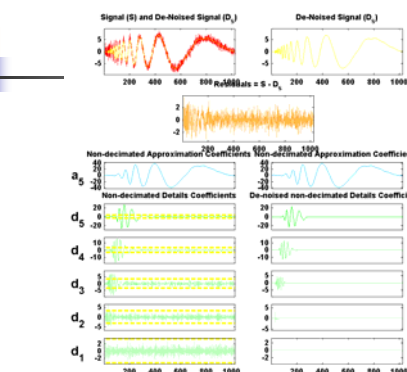
## Potiskivanje šuma

- Prag se odabire tako da se potisne većina šuma.
- Prva varijanta daje manju pogrešku pri rekonstrukciji signala u smislu najmanjih kvadrata.
- Druga je redovito bolja u primjenama, osobito kod potiskivanja šuma u slici jer nema naglih skokova u vrijednosti koeficijenata.
- Bolje rezultate se postiže wavelet filtarskim slogom **bez decimacije**.

39



40



41

## Druge primjene

- Metoda praga može se koristiti i za brojne druge primjene.
- Procjena funkcije gustoće vjerojatnosti
  - Na podacima iz histograma napravi se wavelet analiza, a metodom praga rezultati se učine glatkim.
- Wavelet regresija
  - Umjesto polinomom, funkcijska ovisnost se aproksimira wavelet funkcijama.

42

